

УДК 539.216.2:538.2

БЕЗГИСТЕРЕЗИСНОЕ ПЕРЕМАГНИЧИВАНИЕ  
ОДНООСНЫХ МАГНИТНЫХ ПЛЕНОК ПРИ ВОЗДЕЙСТВИИ  
ВЫСОКОЧАСТОТНОГО ПОЛЯ

В.А. Костяков, Н.М. Саланский

В работе [I] было показано, что при воздействии вдоль оси трудного намагничивания (ОНН) пленки ВЧ-поля, амплитуда  $H_{\text{~}}$  которого выше некоторого критического значения  $H_o$ , квазистатическое перемагничивание в направлении оси легкого намагничивания (ЛН) происходит без гистерезиса. При этом наблюдается полосовая доменная структура, перестраивающаяся при изменении перемагничивающего поля. В данной работе предлагается модель указанного процесса, основанная на учете внутренних полей расщепления пленки.

В соответствии с результатами [I] будем считать, что выполнены следующие условия:

1) При воздействии вдоль ОНН ВЧ-поля  $H_o < H_{\text{~}} < H_x$  пленка стабильно разбита на домены с неподвижными границами. Магнитные моменты внутри доменов совершают колебания в некоторых угловых секторах, биссектрисы которых совпадают с ОНН (рис. Ia). В первом приближении можно заменить колеблющиеся векторы  $M_1$  и  $M_2$  неподвижными, расположеннымими вдоль ОНН (рис. I, б, в).

2) Эффективная коэрцитивная сила пленки при данном значении  $H_{\text{~}}$  равна нулю, т.е. границы могут смещаться в очень ма-

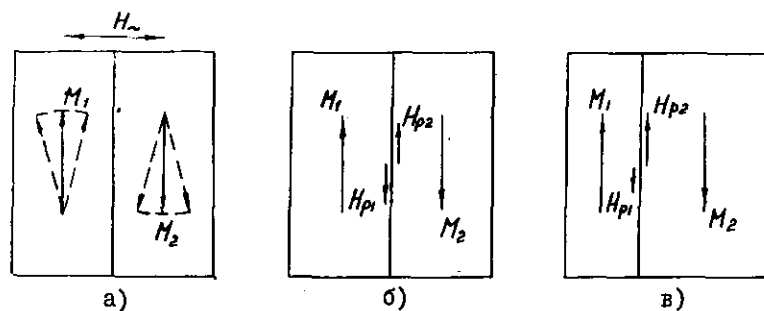


Рис. I.

лом постоянном поле  $H_o$ , параллельном легкому направлению.

Рассмотрим сначала пленку, разделенную на два домена. Размагничивающие поля  $H_{p1}$  и  $H_{p2}$  от смежных доменов в районе границы направлены в противоположные стороны и при равной ширине доменов имеют одинаковую величину (рис. I, б). Поэтому в данном случае внутренние поля в районе границы взаимно скомпенсированы, и при отсутствии внешнего поля граница находится в состоянии покоя.

Если в результате какой-либо флуктуации один из доменов становится шире, то в районе границы возникает некоторое результатирующее поле (рис. I, в). В силу второго условия граница под действием этого небольшого поля возвращается в исходное положение. Таким образом, при отсутствии внешних постоянных полей вдоль ОНН размагнченное состояние пленки является устойчивым и поддерживается длительное время, что и наблюдается экспериментально [I].

Приложение внешнего постоянного поля изменяет условия компенсации полей в районе границы таким образом, что выгодно ориентированные относительно поля домены растут за счет невыгодно ориентированных. Это также соответствует экспериментальным наблюдениям [I].

Проведем приближенный расчет этой модели для случая, когда число доменов больше двух. Рассмотрим квадратную пленку размерами  $2b \times 2b$ , разделенную на полосовые домены чередующейся ширины  $\alpha'$  и  $\alpha''$ , направленные вдоль ОНН (рис. 2). Период доменной структуры обозначим через  $L = \alpha' + \alpha''$ . Будем считать, что пленка содержит целое число пар  $n = 2b/L$  доменов, внутри кото-

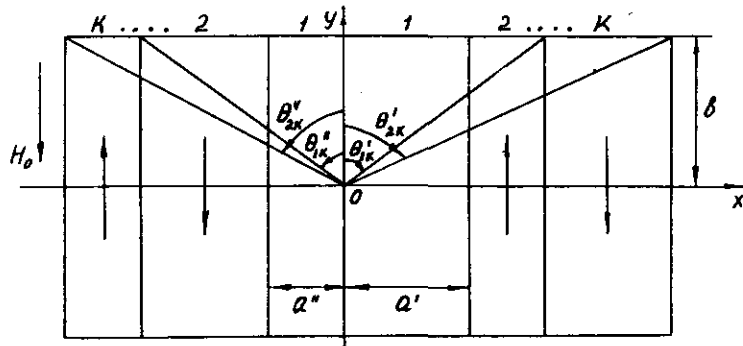


Рис.2.

рых намагниченность однородна и направлена вдоль оси  $y$ . Тогда на границах пленки при  $y = \pm b$ , где нормальная компонента намагниченности терпит разрыв, возникают поверхностные магнитные заряды с плотностью [2]:

$$\rho_m = \mu_0 \delta M, \quad (1)$$

где  $\delta$  — толщина пленки. Ввиду неравенства  $\alpha', \alpha'' \gg \delta$  эти заряды можно считать линейными. Будем искать поле  $H_p$  этих зарядов в начале координат (рис.2), т.е. в середине центральной границы.

Используя магнитный закон Кулона [2], можно получить следующее выражение для напряженности поля  $dH_z$ , создаваемого магнитным зарядом  $d\varphi_M$  на расстоянии  $z$  от него:

$$d\vec{H}_z = \frac{1}{4\pi\mu_0} \cdot \frac{d\varphi_M}{z^2} \vec{\varepsilon}_o, \quad (2)$$

где  $\vec{\varepsilon}_o$  — единичный вектор в направлении, соединяющем точку источника и точку наблюдения. Интегрируя (2), находим компоненту  $H_y$  магнитного поля, созданного заряженной нитью, расположенной параллельно оси  $x$  на расстоянии  $b$  от нее (рис.3):

$$H_y = \frac{\rho_m}{4\pi\mu_0 b} (\sin \theta_2 - \sin \theta_1). \quad (3)$$

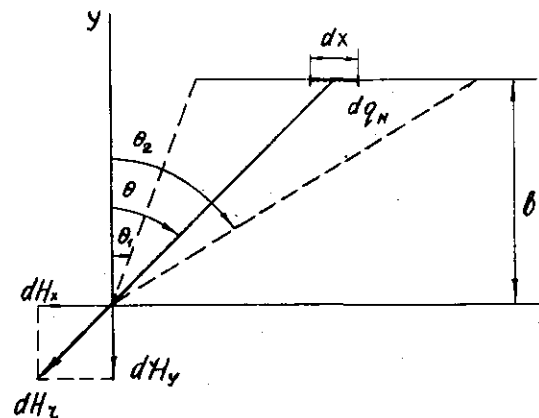


Рис.3.

Из формулы (3) легко получить значение размагничивающего поля  $H_{po}$  в центре однодоменной квадратной пленки:

$$H_{po} = \frac{\delta M}{\sqrt{2}\pi b} \quad (4)$$

Для продолжения расчета пронумеруем домены от I до  $n$ , как показано на рис.2. Через  $\theta'_{ik}$ ,  $\theta''_{ik}$  обозначим углы между осью  $y$  и прямыми, соединяющими начала  $k$ -х отрезков с началом координат, через  $\theta'_{2k}$ ,  $\theta''_{2k}$  — углы между осью  $y$  и прямыми, соединяющими концы  $k$ -х отрезков с началом координат. Тогда для пары доменов с номером  $k$  получим:

$$H_{yk} = \frac{\rho_m}{2\pi\mu_0 b} (\sin \theta'_{2k} - \sin \theta'_{ik} + \sin \theta''_{2k} - \sin \theta''_{ik}). \quad (5)$$

Считая  $\alpha', \alpha'' \ll b$ , выражая синусы через  $\alpha', \alpha'', b$  и производя суммирование (5) по всем нитям зарядов, получаем для искомого поля следующее выражение:

$$H_p = \frac{\rho_m (\alpha' - \alpha'')}{\pi\mu_0 b^2} \left\{ \sum_{k=0}^{m-1} \frac{1}{\sqrt{1+(2\frac{k}{n})^2}} + \frac{n-2m}{2\sqrt{1+(2\frac{m}{n})^2}} \right\}, \quad (6)$$

где  $m = \frac{n}{2}$ , если  $n$  четное,  $m = \frac{n-1}{2}$ , если  $n$  нечетное. Для четного  $n$  второй член в фигурной скобке равен нулю. Ради простоты будем считать  $n=2m$ . Тогда равенство (6) с учетом (1)

принимает вид:

$$H_p = \frac{\delta M(\alpha' - \alpha'')}{\pi b^2} F(m), \quad (7)$$

$$F(m) = \sum_{k=0}^{m-1} \frac{1}{\sqrt{1 + (\frac{k}{m})^2}}$$

Используя (4), формулу (7) можно записать в виде:

$$H_p = H_{po} \sqrt{2} \frac{\alpha' - \alpha''}{\delta} F(m). \quad (8)$$

Нетрудно показать, что

$$\frac{1}{\sqrt{2}} m \leq F(m) \leq m. \quad (9)$$

Учитывая (9), получим из (8):

$$H_p \cong H_{po} \frac{\alpha' - \alpha''}{L}. \quad (10)$$

Поле рассеяния в районе границы максимально при  $\alpha'' \rightarrow 0$ :

$$H_{pmax} = \lim_{\alpha'' \rightarrow 0} H_p = H_{po}$$

и, естественно, совпадает с размагничивающим полем однодоменной пленки.

Таким образом, если пленка разделена на  $180^\circ$  - градусные полосовые домены, то на доменную стенку, расположенную в центральной области пленки, действует внутреннее поле, пропорциональное разности площадей доменов и величине размагничивающего поля однодоменной пленки. При наличии внешнего поля  $H_o$  равновесное значение  $\alpha' - \alpha''$  определяется условием отсутствия поля в районе границы:

$$H_p = -H_o,$$

из которого получаем:

$$\frac{\alpha'' - \alpha'}{L} = \frac{H_o}{H_{po}}. \quad (II)$$

Из (II) следует, что пленка становится однодоменной при  $|H_o| = H_{po}$ , так как при этом либо  $\alpha' = 0$ , либо  $\alpha'' = 0$ .

Амплитуду выходного сигнала  $E_{2m}$  можно найти по формуле (2) работы [I]. Для пленки, находящейся в поле  $|H_o| < H_{po}$  и периодически разделенной на домены шириной  $\alpha'$  и  $\alpha''$ , полу-

чим:

$$E_{2m} = B \left\{ \frac{|\alpha'' - \alpha'|}{L} \frac{1}{(1 + |h_o|)^2} - 4 \frac{\alpha_i}{L} \frac{|h_o|}{(1 - h_o^2)^2} \right\}, \quad (I2)$$

где  $B = \mu_0 \omega M h_o^2 \delta \delta$ ;  $\alpha_i = \alpha'$  при  $H_o > 0$ , и  $\alpha_i = \alpha''$  при  $H_o < 0$ . Используя (II), выражение (I2) нетрудно привести к виду:

$$E_{2m} = B \left\{ \frac{|h_o|}{h_{po}} \frac{1}{(1 + |h_o|)^2} - 2 \frac{h_{po}|h_o| - h_o^2}{h_{po}} \frac{1}{(1 - h_o^2)^2} \right\} \quad (I3)$$

при  $|H_o| \leq H_{po}$ ,  
где  $h_{po} = H_{po}/h_k$ . Если  $|H_o| \geq H_{po}$ , то пленка однодоменна и формула (I3) принимает вид:

$$E_{2m} = B \frac{1}{(h_o)^2} \quad \text{при} \quad |H_o| \geq H_{po}. \quad (I4)$$

На рис. 4 приведен график  $E_{2m}(h_o) = \frac{E_{2m}(h_o)}{B}$ , построенный по формулам (I3) и (I4) для  $h_{po} = 0,1$ . Как видно, его ход

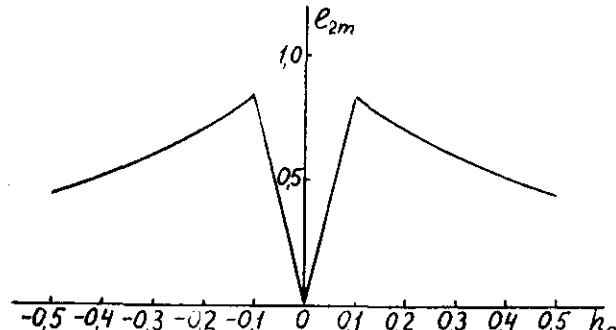


Рис.4.

вполне соответствует ходу экспериментальных кривых рис. 4,г,д, 5,д,е работы [I]. При поле  $H_o$ , равном максимальному значению внутреннего размагничивающего поля  $H_{po}$ , теоретическая кривая рис.4 претерпевает излом. Это соответствует тому факту, что при полной компенсации размагничивающего поля пленка переходит в однодоменное состояние.

Интересно провести сравнение величины внутреннего размаг-

ничивающего поля  $H_{po}$  со значениями  $H_h$ , соответствующими точке перегиба экспериментальных кривых  $E_{2m}(H_h)$ , полученных в работе [1], где эксперимент проводился с круглыми пленками. Значение  $H_{po}$  для этих пленок нетрудно получить интегрированием выражения (2), в результате которого получается:

$$H_{po} = \frac{\delta M}{2D}, \quad (15)$$

где  $D$  - диаметр пленки.

В табл. I приведены значения  $H_{po}$  и  $H_h$  для четырех пленок различной толщины. Точка перегиба экспериментальных кривых  $E_{2m}(H_h)$  ясно не выражена, поэтому  $H_h$  определялась как ширина безмагнитной кривой на уровне 0,5  $E_{2mmax}$  (при  $H_h \equiv H_{po}$ ). Значение  $H_{po}$  рассчитывалось по формуле (15). Из табл. I видно, что между расчетными ( $H_{po}$ ) и экспериментальными ( $H_h$ ) величинами нет абсолютного совпадения. Это связано с тем, что принятые в расчете приближение не учитывает некоторые факторы, в частности, колебания магнитных моментов внутри доменов и некоторые малые смещения границ. Однако значения  $H_h$  для различных пленок ведут себя так, как предсказывает модель полей рассеяния. При одинаковом диаметре  $D$  величина  $H_h$  больше для тех пленок, которые имеют большую толщину.

Т а б л и ц а 1

№ пленки	$H_c$ , а/см	$H_k$ , а/см	$D$ , мм	$\delta, \text{ \AA}$	$H_{po}$ , а/см	$H_h$ , а/см
1	0,42	2,0	15	3000	0,1	0,167
2	0,8	2,3	15	2700	0,09	0,15
3	0,9	2,3	15	3000	0,1	0,15
4	1,8	4,4	15	920	0,031	0,08

Для выяснения зависимости  $H_h$  от диаметра пленки был проведен следующий эксперимент. Пленки № 1 и № 2 диаметром 15мм стравливались с краев до диаметра сначала 10 мм, а затем 5мм. При каждом диаметре записывались кривые  $E_{2m}(H_h)$ . Результаты измерения  $H_h$  по этим кривым приведены в табл.2. Они показывают, что с уменьшением диаметра пленки значение  $H_h$  возрастает примерно обратно пропорционально диаметру. Уменьшение диа-

метра пленки №1 в 1,5 и 3 раза приводило к увеличению  $H_h$  в 1,4 и в 2,6 раза, соответственно. Для пленки №2  $H_h$  выросло в 1,45 раза при уменьшении ее диаметра в 1,5 раза и в 2,2 раза при уменьшении диаметра в 3 раза. То есть при уменьшении диаметра пленки наблюдался рост поля насыщения в примерном соответствии с формулой (15).

Т а б л и ц а 2

$D$ , мм	$H_{po}$ , а/см	$H_h$ , а/см	$H_{po}$ , а/см	$H_h$ , а/см
15	0,1	0,167	0,09	0,15
10	0,15	0,233	0,135	0,215
5	0,3	0,435	0,27	0,33
№ пленки	I			2

Таким образом, учет внутренних полей рассеяния пленки при описании безмагнитного перемагничивания позволяет получить хорошее соответствие расчетов с экспериментальными данными.

Авторы выражают благодарность В.В. Солдатенковой за проведение химического травления пленок.

#### Л И Т Е Р А Т У РА

1. САЛАНСКИЙ Н.М., КОСТЬЯКОВ В.А. Влияние высокочастотного поля на квазистатическое перемагничивание одноосных магнитных пленок. - Данный сборник, стр. 63-79.
2. ПОЛИВАНОВ К.М. Ферромагнетики. "Госэнергоиздат", М. - Л., 1957.

Поступила в редакцию  
3. III. 1969